

## مدل‌سازی دینامیکی و تحلیل مکانیزم جدید کنترل خودکار سرعت زاویه‌ای محورهای دوار\*

علی حاجی احمد<sup>(۱)</sup>سیدسعید محتسابی<sup>(۲)</sup>علی جعفری<sup>(۳)</sup>خدیجه فرجی مهیاری<sup>(۴)</sup>

**چکیده** مکانیزم جدید کنترل خودکار سرعت زاویه‌ای محورهای دوار، در واقع طرح یک سامانه انتقال توان کامل می‌باشد. این سامانه می‌تواند برای مقادیر مختلف سرعت‌های زاویه‌ای ورودی به آن، سرعت خروجی تقریباً ثابت تولید نماید و به عنوان رابطی مناسب، بین محور توان دهنده تراکتور و ماشین‌های کشاورزی به کار گرفته شود. این سامانه کاملاً مکانیکی می‌باشد. در این پژوهش، با استخراج معادلات نیرو، گشتاور و توان، عملکرد مکانیزم مدل‌سازی می‌شود. معادلات حاکم بر حرکت این مکانیزم از نوع معادلات دینامیکی غیرهولونومیک و به صورت معادلات دیفرانسیل- جبری با اندیس سه می‌باشد. نتایج مدل‌سازی نشان می‌دهد که با تغییر سرعت ورودی به سامانه در بازه ۳۰٪-۵۰٪، میزان خطا در سرعت خروجی کمتر از ۱۰٪ می‌باشد.

**واژه‌های کلیدی** سرعت زاویه‌ای، مجموعه چرخ‌دنده سیاره‌ای، سیستم غیرهولونومیک، کنترل خودکار، معادلات دیفرانسیل- جبری.

## Dynamics Modeling and Analysis a New Mechanism for Automatic Control of Angular Velocity of a Rotary Axis

Kh. Faraji Mahyari

A. Jafari

S. S. Mohtasebi

A. Hajiahmad

**Abstract** Actually a new mechanism presented for automatic control of angular velocity of a rotary axis is a complete power transmission system. This system can produce an almost constant output speed for different values of the angular velocity input, and can be employed as a suitable coupling between tractor P.T.O. shaft and agricultural machineries. This system is quite mechanical. In this study, equations of force, torque and power of the mechanism were extracted and mechanism performance were modeled. The equations of motion of mechanism are non-holonomic dynamical and differential algebraic equations with an index of three. Modeling results showed that changing the input velocity in the range of -30% to 50%, variations of output velocity would less than 10%.

**Key Words** Angular Velocity, Planetary Gear Set, Nonholonomic System, Automatic Control, Differential-Algebraic Equation.

\*تاریخ دریافت مقاله ۹۲/۱۱/۲ و تاریخ پذیرش آن ۹۳/۴/۲۳ می‌باشد.

(۱) کارشناس ارشد، مهندسی مکانیک ماشین‌های کشاورزی، دانشگاه تهران، کرج.

(۲) نویسنده مسئول، استاد، دانشکده مهندسی و فناوری کشاورزی، دانشگاه تهران، کرج jafarya@ut.ac.ir

(۳) استاد، دانشکده مهندسی و فناوری کشاورزی، دانشگاه تهران، کرج.

(۴) استادیار، دانشکده مهندسی و فناوری کشاورزی، دانشگاه تهران، کرج.

## مقدمه

سیستم‌های صنعتی همواره فکر بشر را به خود مشغول داشته است. این امر، به خصوص برای موقعی که عمل کنترل بدون دخالت انسان مطرح بوده است، اهمیت ویژه‌ای می‌یابد. گاورنر (Fly-ball governor) مکانیکی اولین سیستم کنترلی خودکار است که در سال ۱۷۹۰ به منظور کنترل سرعت دورانی موتور بخار توسط جیمز وات (James Watt) ارائه شد [۳]. این سیستم مکانیکی، در طراحی مکانیزم کنترل خودکار سرعت زاویه‌ای محورهای دوار الهام‌بخش بوده است.

یک سیستم متعادل‌کننده سرعت زاویه‌ای وظیفه دارد در هر لحظه، نسبت سرعت ورودی به خروجی را به گونه‌ای تغییر دهد تا سرعت خروجی همچنان ثابت بماند. جعبه‌دنده‌های سرعت متغیر پیوسته یکی از انواع سیستم‌های متعادل‌کننده سرعت زاویه‌ای می‌باشند. جعبه‌دنده‌های سرعت متغیر پیوسته نیز می‌توانند به منظور فراهم آوردن توان ورودی با یک سرعت ثابت برای ژنراتور، بین موتور و ژنراتور استفاده شوند به طوری که ژنراتور قادری در ولتاژ ثابت تولید کند [۴, ۵].

در سال ۱۹۷۵ یک جعبه‌دنده سرعت متغیر پیوسته تمام چرخ‌دنده‌ای اختراع شد. در این جعبه‌دنده از مجموعه چرخ‌دنده‌های سیاره‌ای استفاده شده بود [۶]. از مزایای چرخ‌دنده‌های سیاره‌ای این است که به علت ماهیت مکانیکی، توان انتقال قدرت آن بالا است و می‌تواند دامنه وسیعی از حرکات خروجی غیر یکنواخت را تولید نمایند [۷]. از ویژگی‌های سیستم‌های دارای مجموعه چرخ‌دنده‌های سیاره‌ای این است که بیش از یک درجه آزادی دارند و برای به دست آوردن خروجی قابل پیش‌بینی، می‌بایست درجهات آزادی آن‌ها را با ورودی‌های معلوم کنترل نمود [۸]. در کنترل، اگر درجهات آزادی قابل کنترل مساوی با درجهات آزادی سیستم باشد آنگاه سیستم هولونومیک است و اگر درجهات آزادی قابل کنترل کمتر از درجهات آزادی

در بسیاری از سامانه‌های مهندسی دوار، توان از یک ورودی با سرعت دورانی غیر یکنواخت تأمین می‌شود. یکنواخت نبودن سرعت ورودی باعث ایجاد نوسان در خروجی سامانه می‌گردد. بدین ترتیب راندمان سیستم متغیر خواهد بود. در سیستم‌های دوار، توان سیستم دارای دو مؤلفه سرعت دورانی و گشتاور می‌باشد و از حاصل ضرب آن دو تعیین می‌شود. عموماً طراحی سیستم‌ها براساس میزان سرعت دورانی یا گشتاور مشخص صورت می‌گیرد. از این‌رو، راندمان بیشینه تنها در آن سرعت دورانی یا گشتاور خاص حاصل می‌گردد. به طور مثال، در توربین‌های بادی و آبی، سرعت دورانی ورودی به طور طبیعی غیر یکنواخت می‌باشد. در بعضی سیستم‌ها نیز، که توان مورد نیاز خود را از یک منع غیرطبیعی مانند موتورهای درون سوز دریافت می‌کنند، ثابت نگهداشتن سرعت دورانی محور ورودی به سادگی امکان‌پذیر نیست. در این میان، می‌توان به بسیاری از ماشین‌های کشاورزی هم اشاره کرد که توان مورد نیاز برای به حرکت در آوردن اجزای خود را از محور توانده‌ی (Power Take Off) تراکتور تأمین می‌کنند. محور توانده‌ی تراکتور واسطه‌ای است که حرکت دورانی را برای ادوات کشاورزی تأمین می‌نماید و سرعت دورانی آن براساس استاندارد ASABE S207.12 [۱] می‌بایست ۵۴۰ و ۱۰۰۰ دور در دقیقه، در دور مشخصه موتور باشد. اگر دور موتور کمتر یا بیشتر از مقدار مشخصه باشد، سرعت دوران محور توانده‌ی نیز تغییر خواهد کرد. بالا یا پایین بودن سرعت زاویه‌ای محور توانده‌ی نسبت به مقدار استاندارد، می‌تواند موجب کاهش بازده ماشین شود، به قطعات متحرک آسیب برساند و یا مشکلاتی چون گیرکردن محصولات کشاورزی را پدید آورد [۲]. سیستم‌های کنترل، هم‌زمان با ابداع و اختراع

## ساختار مکانیزم کنترل خودکار سرعت زاویه‌ای

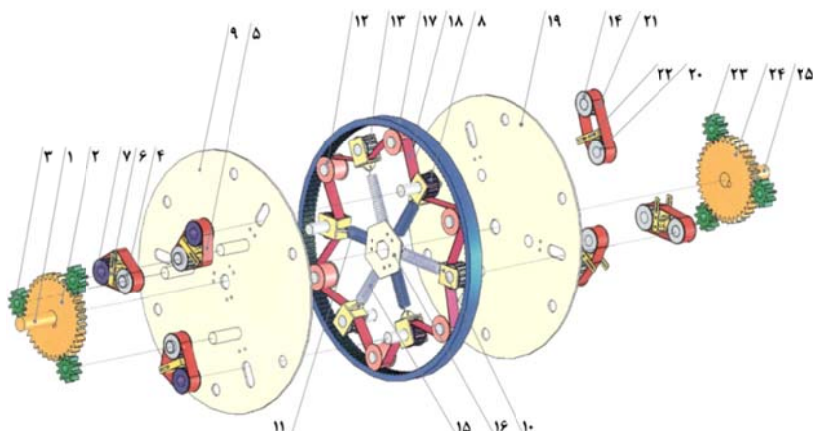
این سیستم، که اساس کار آن رابطه مستقیم میان نیروی جانب مرکز و سرعت زاویه‌ای می‌باشد ( $F = mr\omega^2$ )، با الهام از اولین سیستم کنترل دور (گاورنر) و با بهره‌گیری از مجموعه چرخ‌دنده‌های سیاره‌ای طراحی شده است.

همان‌طور که در شکل (۱) مشاهده می‌شود، این سیستم شامل دو مجموعه چرخ‌دنده سیاره‌ای و دو مجموعه پولی‌های معلق سنگین و سبک می‌باشد. این مجموعه‌ها توسط تسمه با یکدیگر در ارتباط می‌باشند. در ضمن، هر کدام از پولی‌های معلق، به‌واسطه یک فنر به مرکز مکانیزم متصل شده‌اند که سبب شناور بودن پولی‌ها می‌گردد.

این دو مجموعه چرخ‌دنده سیاره‌ای که به‌طور سری کنار هم در ورودی و خروجی سیستم قرار گرفته‌اند، دارای چرخ‌دنده محیطی مشترک هستند. چرخ‌دنده محیطی در جای خود ثابت نگه داشته شده است. در مجموعه چرخ‌دنده سیاره‌ای اول، چرخ‌دنده خورشیدی محرک است و صفحه حامل را مجبور به دوران می‌نماید. اما در مجموعه دوم، صفحه حامل عامل محرک می‌باشد. در جدول (۱) شرح قطعات مربوط به شکل (۱) آورده شده است.

سیستم باشد سیستم غیرهولونومیک خواهد بود. دیفرانسیل خودرو، که به‌واسطه یک قید غیرهولونومیک، اختلاف سرعت زاویه‌ای بین دو واحد خروجی را کنترل می‌کند از این نوع می‌باشد [۹]. در سال ۲۰۰۱، یک جعبه‌دنده سرعت متغیر پیوسته ارائه شد که متشکل از یک مجموعه پولی دور متغیر متصل به یک مجموعه چرخ‌دنده سیاره‌ای بود [۱۰]. در سال بعد، یک جعبه‌دنده سرعت متغیر پیوسته، متشکل از مجموعه چرخ‌دنده‌های سیاره‌ای اول و دوم ICT معرفی شد [۱۱]. در سال ۲۰۱۰، یک مکانیزم (Independently Controllable Transmission) توربین‌های بادی سرعت متغیر ارائه گردید [۱۲]. این مکانیزم ترکیبی از دو مجموعه چرخ‌دنده سیاره‌ای است و سرعت ثابتی به خروجی منتقل می‌کند و یک سرورو موتور (Servo Motor) وظیفه کنترل را به‌عهده دارد، به‌گونه‌ای که روتور دچار نوسان سرعت نشود.

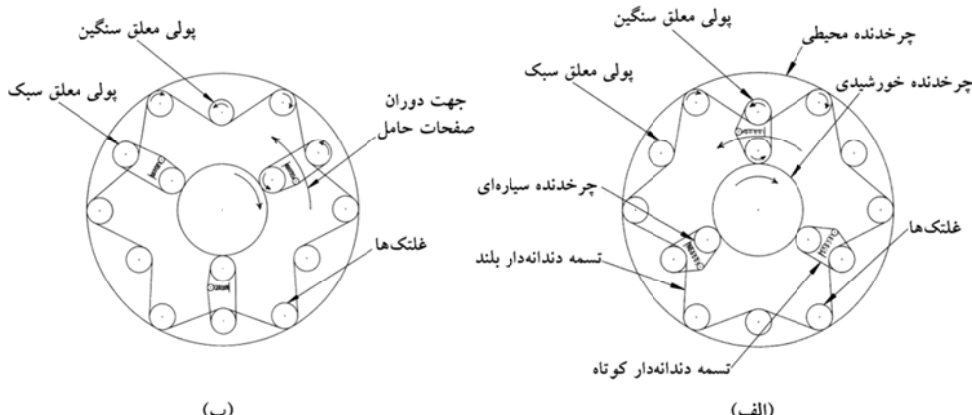
هدف از این پژوهش ارائه و مدل‌سازی دینامیکی یک سیستم انتقال توان با قابلیت کنترل خودکار سرعت زاویه‌ای محورهای دور می‌باشد که بتواند رابط مناسبی بین محور توانده‌ی تراکتور و ماشین‌های کشاورزی باشد. درنهایت تأثیر برخی پارامترهای مهم و مؤثر بر عملکرد این مکانیزم مورد بررسی قرار می‌گیرد.



شکل ۱ نمای انفجاری و شماره قطعات دستگاه متعادل‌کننده سرعت زاویه‌ای محورهای دور

جدول ۱ شماره و شرح قطعات سیستم کنترل خودکار سرعت زاویه‌ای محورهای دوار مطابق با شکل (۱)

شماره	شرح قطعه	شماره	شرح قطعه
۱۲	غلتک‌ها	۱۰	محور ورودی و چرخ‌دنده خورشیدی در مجموعه اول
۱۳	پولی معلق سبک داخلی	۲۳	چرخ‌دنده‌های سیاره‌ای در مجموعه اول و دوم
۱۴	پولی معلق سبک بیرونی	۴	پولی هم محور چرخ‌دنده سیاره‌ای در مجموعه اول
۱۱ و ۱۵	فرنگاهای نگهدارنده پولی‌های معلق سنگین و سبک	۲۱ و ۵	تسممهای دندانه‌دار کوتاه
۱۶	پایه‌های فرنگاهای	۲۲	تسممه سفت‌کن
۱۷	چرخ‌دنده محیطی	۷	پولی معلق سنگین بیرونی
۱۸	تسممه دندانه‌دار بلند	۸	پولی معلق سنگین داخلی
۲۰	پولی هم محور چرخ‌دنده سیاره‌ای در مجموعه دوم	۱۹ و ۹	صفحة حامل
۲۴ و ۲۵	محور خروجی و چرخ‌دنده خورشیدی در مجموعه دوم	۱۰	پایه‌های پولی‌های معلق



شکل ۲ تصویر شماتیک (الف) مجموعه چرخ‌دنده سیاره‌ای اول، (ب) مجموعه چرخ‌دنده سیاره‌ای دوم

آنها را به سمت مرکز دوران می‌کشد) از مرکز دوران دورتر خواهد شد و پولی‌های معلق سبک (قطعات شماره ۱۳ و ۱۴ در شکل ۱) تحت کشش فر خود به محور دوران نزدیک‌تر خواهد گردید؛ بر عکس، با کاهش سرعت دورانی محور ورودی چرخ‌دنده‌های سیاره‌ای و پولی‌های معلق سنگین حرکت وضعی کندری خواهد داشت و صفحات حامل را با سرعت کمتری به دوران وادار خواهد کرد، در نتیجه با کاهش نیروی جانب مرکز، محور پولی‌های معلق سنگین تحت کشش فر مربوطه به محور دوران نزدیک گشته و پولی‌های معلق سبک به کشش فرنگاهای خود غلبه می‌کنند و محورشان از محور دوران صفحات حامل دورتر می‌شود.

در شکل (۲) تصویر شماتیک مجموعه‌های چرخ‌دنده سیاره‌ای «مکانیزم متعادل‌کننده سرعت زاویه‌ای» نشان داده شده است. در این مکانیزم، چرخ‌دنده‌های سیاره‌ای، پولی‌های معلق سنگین و سبک و غلتک‌ها علاوه بر حرکت وضعی دارای حرکت انتقالی نیز هستند. در ضمن، محورهای ورودی و خروجی در یک جهت می‌چرخند.

هرچه سرعت دورانی محور ورودی بالاتر رود، سرعت دورانی چرخ‌دنده‌های سیاره‌ای و به تبع آن سرعت دوران کل مجموعه (صفحات حامل) نیز بالاتر خواهد رفت و در نتیجه با توجه به شناور بودن پولی‌های معلق سنگین (قطعات شماره ۷ و ۸ در شکل ۱)، محور این پولی‌ها (با غلبه بر نیروی فنری که

که در این رابطه  $\omega_F$  ارزش انتقال،  $\omega_L$  سرعت زاویه‌ای اولین چرخ‌دنده،  $\omega_{arm}$  سرعت زاویه‌ای آخرین چرخ‌دنده و  $\omega_{Ci}$  سرعت زاویه‌ای بازو در مجموعه چرخ‌دنده سیاره‌ای می‌باشد. با این رابطه، ارتباط بین سرعت زاویه‌ای اجزای مجموعه چرخ‌دنده سیاره‌ای اول به ترتیب زیر تعیین می‌شود:

$$\omega_{Pi} + \frac{r_{Si}}{r_{Pi}} \omega_{Si} - \left(1 + \frac{r_{Si}}{r_{Pi}}\right) \omega_{Ci} = 0 \quad (3)$$

این تنها رابطه‌ای است که می‌توان میان سرعت‌های زاویه‌ای این مجموعه بیان داشت. این مجموعه چرخ‌دنده سیاره‌ای دارای سه مختصات عمومی و یک معادله قید است. پس، دارای دو درجه آزادی می‌باشد. هم‌چنین دارای یک درجه آزادی قابل کنترل (سرعت زاویه‌ای ورودی) است، از این رو غیرهولونومیک می‌باشد.

از آنجا که در تحلیل مکانیزم، حالت پایای آن در نظر گرفته شده است و در این وضعیت تغییرات سرعت لحظه‌ای کوچک می‌باشد؛ مجموع گشتاور اجزا در مجموعه چرخ‌دنده سیاره‌ای برابر صفر خواهد بود، هم‌چنین مجموع توان‌ها نیز صفر می‌شود:

$$T_{Si} + T_{Pi} + T_{Ci} = 0 \quad (4)$$

$$P_{Si} + P_{Pi} + P_{Ci} = 0 \quad (5)$$

به عبارت دیگر:

$$T_{Si}\omega_{Si} + T_{Pi}\omega_{Pi} + T_{Ci}\omega_{Ci} = 0 \quad (6)$$

**مجموعه چرخ‌دنده سیاره‌ای دوم.** با توجه به تقارنی که در طرح مکانیزم وجود دارد، معادلات نوشته شده برای مجموعه چرخ‌دنده سیاره‌ای اول می‌تواند برای دومی نیز بازنویسی شود؛ بنابراین براساس روش

## تحلیل دینامیکی مکانیزم کنترلی

به منظور تحلیل دینامیکی و استخراج معادلات حاکم، مکانیزم در چهار بخش اصلی مورد بررسی قرار می‌گیرد. این چهار بخش عبارتند از مجموعه چرخ‌دنده سیاره‌ای اول واقع شده در ورودی مکانیزم (قطعات شماره ۲، ۳ و ۹ در شکل ۱)، مجموعه چرخ‌دنده سیاره‌ای دوم واقع شده در خروجی مکانیزم (قطعات شماره ۱۹، ۲۳ و ۲۴ در شکل ۱)، صفحات حامل و بخش میانی که در برگیرنده مجموعه پولی‌های معلق، فردهای نگهدارنده آن‌ها و تسمه بلند می‌باشد. برای انجام این محاسبات، به جای کلیه چرخ‌دنده‌ها و پولی‌های دندانه‌دار، دایره‌هایی با قطری برابر قطر مؤثر این چرخ‌دنده‌ها و پولی‌ها در نظر گرفته شده است. هم‌چنین فرض شده است که هیچ‌یک از چرخ‌دنده‌ها، پولی‌ها و تسمه‌ها هنگام درگیری با یکدیگر، لغزش ندارند و از اتلاف انرژی در مکانیزم صرف‌نظر شده است. بدین ترتیب توان خروجی مکانیزم با توان ورودی آن برابر خواهد بود ( $P_{in} = P_{out}$ ). به عبارت دیگر:

$$P_{Si} = P_{So} \quad (1)$$

**مجموعه چرخ‌دنده سیاره‌ای اول.** یکی از روش‌های تحلیل دینامیکی مجموعه‌های چرخ‌دنده‌ای، روش سرعت نسبی است [13، 8]. این روش بر پایه اصل ارزش انتقال بنا نهاده شده است. با استفاده از این اصل می‌توان ارتباط بین سرعت زاویه‌ای اجزای مجموعه چرخ‌دنده سیاره‌ای را تعیین نمود [8]. این اصل چنین بیان می‌کند:

$$e = \pm \frac{\text{حاصلضرب شعاع چرخ‌دنده‌های محرک}}{\text{حاصلضرب شعاع چرخ‌دنده‌های متحرک}} = \frac{\omega_L - \omega_{arm}}{\omega_F - \omega_{arm}} \quad (2)$$

در این رابطه  $L_0$  برابر  $\frac{1}{\sqrt{3}}$  طول تسمه بلند می‌باشد.

دیاگرام آزاد پولی‌های معلق داخلی نیز در شکل (۳) نشان داده شده است. بدین ترتیب براساس قانون

دوم نیوتن ( $\sum F = m\ddot{x}$ ), خواهیم داشت:

$$\ddot{x}_1 - x_1 \omega_{Ci}^2 - \frac{2T}{m_1} \cos \alpha + \frac{c}{m_1} \dot{x}_1 + \frac{k_1}{m_1} (x_1 - d_1) = 0 \quad (13)$$

$$\ddot{x}_2 - x_2 \omega_{Co}^2 - \frac{2T}{m_2} \cos \beta + \frac{c}{m_2} \dot{x}_2 + \frac{k_2}{m_2} (x_2 - d_2) = 0 \quad (14)$$

سرعت نسبی خواهیم داشت:

$$\omega_{Po} = \left(1 + \frac{r_{So}}{r_{Po}}\right) \omega_{Co} - \frac{r_{So}}{r_{Po}} \omega_{So} \quad (V)$$

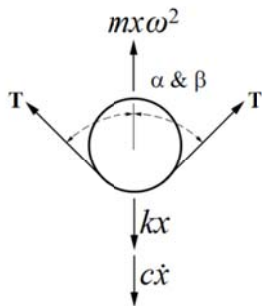
و از آنجا که تنها تحلیل مکانیزم در حالت پایا مورد نظر بوده است، می‌توان چنین نوشت:

$$T_{So} + T_{Po} + T_{Co} = 0 \quad (8)$$

$$P_{So} + P_{Po} + P_{Co} = 0 \quad (9)$$

از رابطه (۹) می‌توان نتیجه گرفت:

$$T_{So}\omega_{So} + T_{Po}\omega_{Po} + T_{Co}\omega_{Co} = 0 \quad (10)$$



شکل ۳ دیاگرام آزاد پولی‌های معلق

از طرف دیگر نیروی کشش داخلی تسمه با میانگین نیروهای طرف شل و سفت تسمه برابر است.

$$T = \frac{F_1 + F_2}{2} \quad (15)$$

$F_1$  و  $F_2$  به ترتیب نیروهای کششی طرف سفت و شل تسمه بلند هستند، که تفاضل آنها با گشتاور چرخ‌دنده‌های سیاره‌ای مجموعه اول و دوم متناسب می‌باشد و به صورت زیر بیان می‌شود:

$$F_1 - F_2 = \frac{r_2}{r_1 r_3} T_{Pi} \quad (16)$$

البته این مجموعه چرخ‌دنده سیاره‌ای دارای سه مختصات عمومی و یک معادله قید است. پس درجه آزادی آن، دو می‌باشد. هم‌چنین دارای دو درجه آزادی قابل کنترل (سرعت زاویه‌ای صفحه حامل و چرخ‌دنده سیاره‌ای) است و از این‌رو هولونومیک می‌باشد.

از سوی دیگر، به‌واسطه غلتک‌ها، صفحه حامل در این مجموعه با صفحه حامل مجموعه اول ارتباطی مستقیم دارد. از این‌رو:

$$\omega_{Ci} = \omega_{Co} \quad (11)$$

بخش میانی. این بخش شامل یک قید هولونومیک می‌باشد که توسط تسمه بلند به وجود آمده است. این قید به صورت تابعی از فاصله پولی‌های معلق داخلی از محور مرکزی مکانیزم بیان می‌شود:

$$\sqrt{x_1^2 + R^2 - \sqrt{3}Rx_1} + \sqrt{x_2^2 + R^2 - \sqrt{3}Rx_2} - L_0 = 0 \quad (12)$$

مرکزی مکانیزم ( $x_{bo}$  و  $x_{bi}$ )، گشتاور اعمال شده به صفحات حامل را به دست می‌دهد:

$$T_{bi} = \frac{T_{Pi}}{r_1} x_{bi} \quad (20)$$

$$T_{bo} = \frac{T_{Po}}{r_6} x_{bo} \quad (21)$$

غلتک‌ها نیز، که بین دو صفحه حامل ارتباط برقرار می‌کنند تا صفحات حامل با سرعت زاویه‌ای یکسان بچرخند، به صفحات حامل گشتاور دیگری وارد می‌کنند. از این‌رو می‌توان نتیجه گرفت که  $T_{Ri}$  و  $T_{Ro}$  به ترتیب گشتاور وارد شده به صفحات حامل اول و دوم از سوی غلتک‌ها می‌باشند که با یکدیگر برابرند:

$$T_{Ri} = T_{Ro} \quad (22)$$

در ضمن با توجه به این‌که مکانیزم در حالت پایا مورد بررسی قرار می‌گیرد و تغییرات سرعت لحظه‌ای در این حالت ناچیز است، مجموع گشتاورها روی صفحات حامل اول و دوم برابر با صفر خواهد بود.

$$T_{Ci} + T_{Li} + T_{bi} + T_{Ri} = 0 \quad (23)$$

$$T_{Co} + T_{Lo} + T_{bo} + T_{Ro} = 0 \quad (24)$$

### نتایج مدل‌سازی

روابط (۱۲-۱۴) در کتاب هم دستگاه معادلات دیفرانسیل-جبری را تشکیل می‌دهند که معرف قید هولونومیک در بخش میانی مکانیزم است. این دستگاه معادلاتی دارای اندیس سه می‌باشد. برای معادلات دیفرانسیل-جبری، کمترین دفعات مشتقی که باید از سیستم گرفته شود تا آنها به یک معادله دیفرانسیل معمولی تبدیل گردند را اندیس می‌گویند. این مجموعه معادلات در نرم‌افزار MATLAB 7.10.0 مدل‌سازی گردید. در این مدل‌سازی،  $\dot{x}$  و  $\ddot{x}$  ها برابر صفر در نظر

$$F_2 - F_1 = \frac{r_5}{r_4 r_6} T_{Po} \quad (17)$$

صفحات حامل. هر یک از اجزای سوار شده بر صفحه حامل، گشتاوری به آن وارد می‌کند. چرخ‌دنده‌های سیاره‌ای در ورودی و خروجی مکانیزم و پولی‌های هم محور با آن‌ها، گشتاور  $T_{Co}$  و  $T_{Ci}$  را به ترتیب بر صفحه حامل اول و دوم اعمال می‌نمایند که پیش از این در روابط مربوط به مجموعه چرخ‌دنده سیاره‌ای اول و دوم وارد شده‌اند. از طرف محور مشترک پولی‌های معلق سنگین داخلی و بیرونی، گشتاوری به صفحه حامل اول اعمال می‌شود. این گشتاور بر حسب نیروهای داخلی تسمه بلند و فاصله پولی‌ها از مرکز مکانیزم قابل محاسبه می‌باشد.

$$T_{Li} = (F_1 - F_2)x_1 \sin \alpha \quad (18)$$

گشتاور وارد از طرف محور مشترک پولی‌های معلق سبک داخلی و بیرونی به صفحه حامل دوم نیز به‌طور مشابه محاسبه می‌شود.

$$T_{Lo} = (F_2 - F_1)x_2 \sin \beta \quad (19)$$

تسمه سفت‌کن‌ها، که روی صفحات حامل قرار گرفته‌اند هم به این صفحه‌ها گشتاور وارد می‌کنند. تسمه سفت‌کن‌ها وظیفه دارند در هر شرایطی با ایجاد کشش در تسمه کوتاه، امکان انتقال توان میان پولی‌هم محور با چرخ‌دنده سیاره‌ای و پولی‌های معلق بیرونی را فراهم نمایند. این گشتاور با برآیند نیروهای کششی داخلی تسمه کوتاه متناسب است.

تسمه سفت‌کن‌های روی صفحات حامل اول و دوم، به‌ترتیب نیروی کششی معادل  $\frac{T_{Pi}}{r_1}$  و  $\frac{T_{Po}}{r_6}$  را در تسمه‌های کوتاه به وجود می‌آورند. حاصل ضرب این نیرو در فاصله شعاعی تسمه سفت‌کن‌ها از محور

از روش سعی و خطای مقادیر بهینه برای پارامترهای طراحی این مکانیزم کنترلی استخراج گردید که در جدول (۲) آورده شده است. توان ورودی به مکانیزم ۳۰هزار وات (۴۰ اسب بخار) در نظر گرفته شده است. به منظور بررسی اثر پارامترهای گوناگون از مقادیر جدول (۲) استفاده شده است.

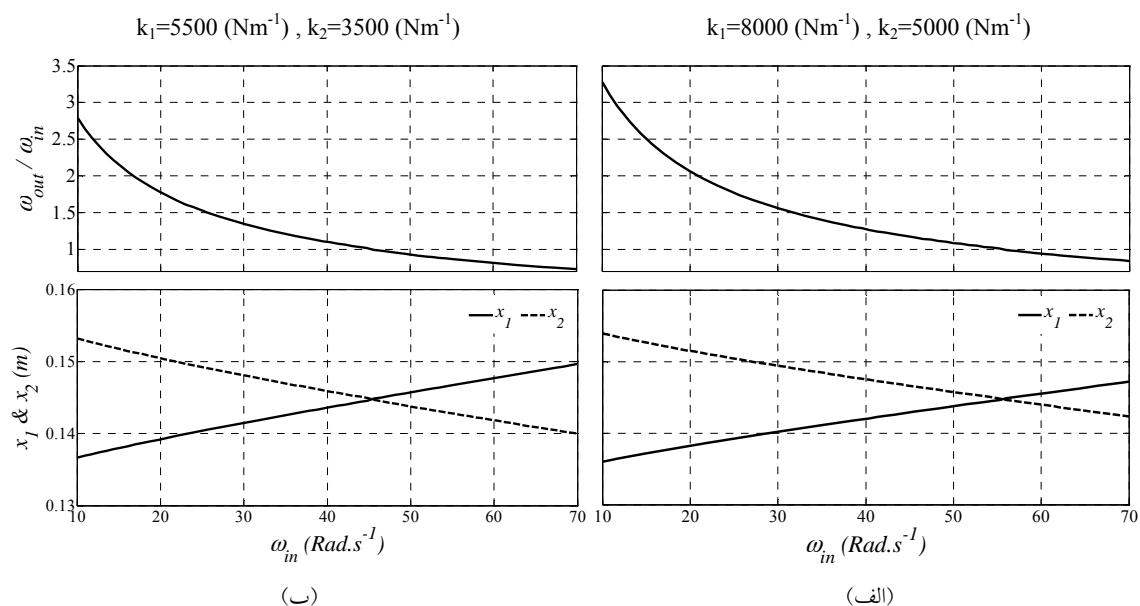
جدول ۲ مقادیر بهینه عوامل طراحی مکانیزم برای سرعت زاویه‌ای مطلوب برابر با ( $\text{Rad.s}^{-1}$ )

پارامتر طراحی	مقدار	واحد
$r_{Si}$ & $r_{So}$	۰/۰۶	m
$r_{Pi}$ & $r_{Po}$	۰/۰۱۵	m
$r_1$ & $r_6$	۰/۰۱۵	m
$r_2$ & $r_3$	۰/۰۱۵	m
$r_4$ & $r_5$	۰/۰۱۵	m
R	۰/۳	m
$L_0$	۰/۳۸	m
$d_1$	۰/۰۷	m
$d_2$	۰/۰۷	m
$k_1$	۸۰۰۰	$\text{Nm}^{-1}$
$k_2$	۵۰۰۰	$\text{Nm}^{-1}$
$m_1$	۰/۷	kg
$m_2$	۰/۲	kg

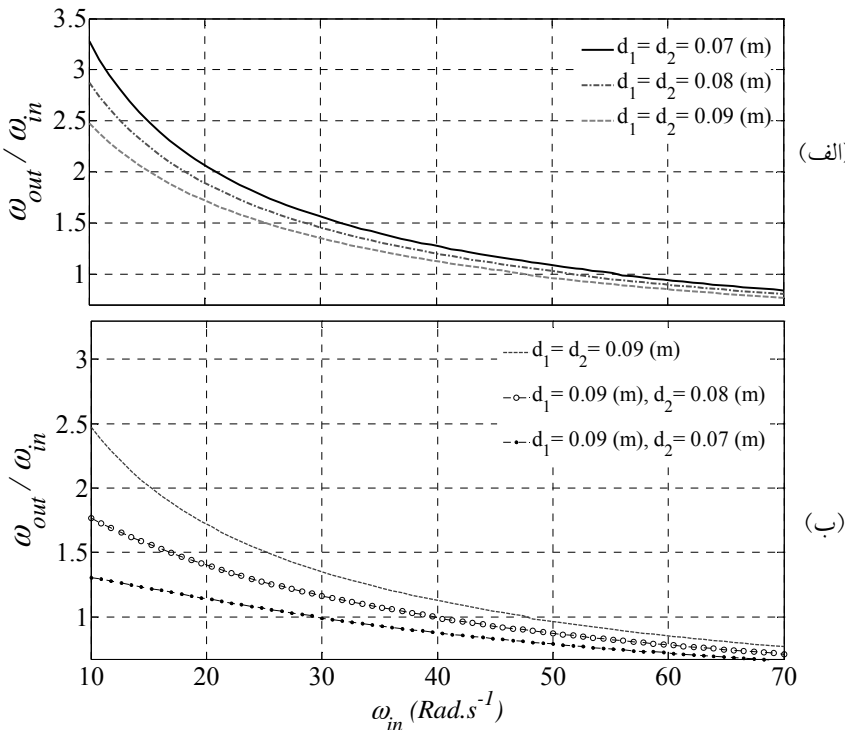
گرفته شد تا نتایج مربوط به حالت پایا حاصل گردد. همچنین مجموعه ۱۸ معادله (۴-۲۴، ۱۱، ۱۰، ۶-۸، ۴، ۳، ۱) در کنار یکدیگر بیان‌کننده قید غیرهولونومیک در این مکانیزم پیچیده می‌باشند. این معادلات، یک دستگاه معادلات جبری غیرخطی می‌سازند. با حل این دستگاه، ۱۸ مجهول به کار رفته در این معادلات به دست می‌آید که سرعت خروجی مکانیزم را نیز شامل می‌شود. برای این منظور، از نرم‌افزار Maple 15.01 استفاده شد و مدل‌سازی پاسخ آن در نرم‌افزار MATLAB 7.10.0 انجام شده است.

با ترکیب مدل قیدهای هولونومیک و غیرهولونومیک مکانیزم کنترل خودکار سرعت زاویه‌ای می‌توان عملکرد مکانیزم و عکس‌العمل آن نسبت به تغییرات سرعت زاویه‌ای ورودی را پیش‌بینی نمود. به منظور کاهش خطای در این مدل از روش تکرار استفاده شده است.

همچنین با در نظر گرفتن سرعت زاویه‌ای (۵۶ Rads $^{-1}$  تقریباً ۵۴۰ دور در دقیقه) به عنوان سرعت زاویه‌ای مطلوب (سرعت زاویه‌ای ورودی به مکانیزم که در آن نسبت انتقال یک را ارائه می‌دهد) و با استفاده



شکل ۴ تأثیر سختی فنرهای نگهدارنده بر دامنه عملکرد مکانیزم



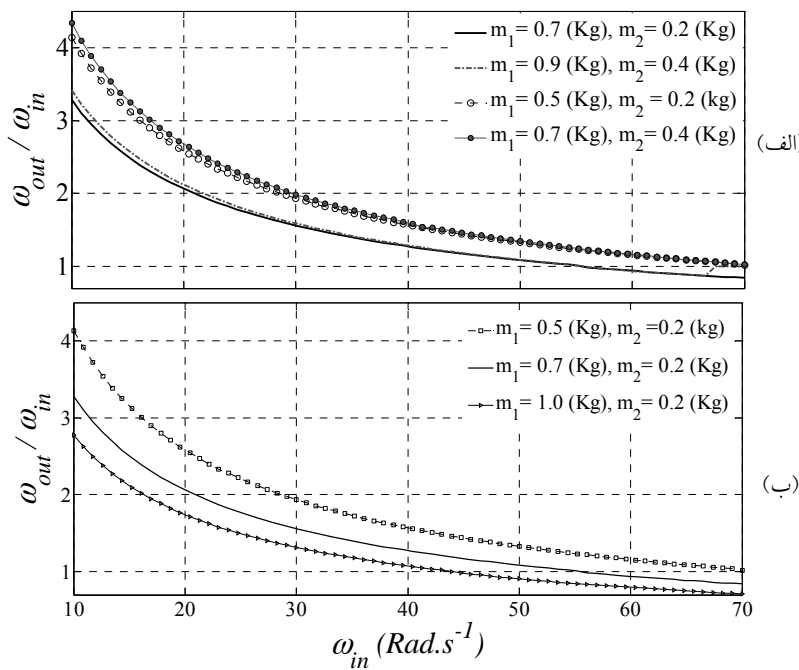
شکل ۵ تأثیر طول آزاد فنرهای نگهدارنده بر دامنه عملکرد مکانیزم

مکانیزم عملکرد مشابه و بسیار نزدیک به هم خواهد داشت. در عین حال، با افزایش اختلاف جرم‌ها ارزش انتقال مکانیزم کاهش می‌یابد. هم‌چنین، مقدار سرعت زاویه‌ای مطلوب به‌سوی سرعت‌های پایین‌تر حرکت می‌کند (شکل ۶-ب).

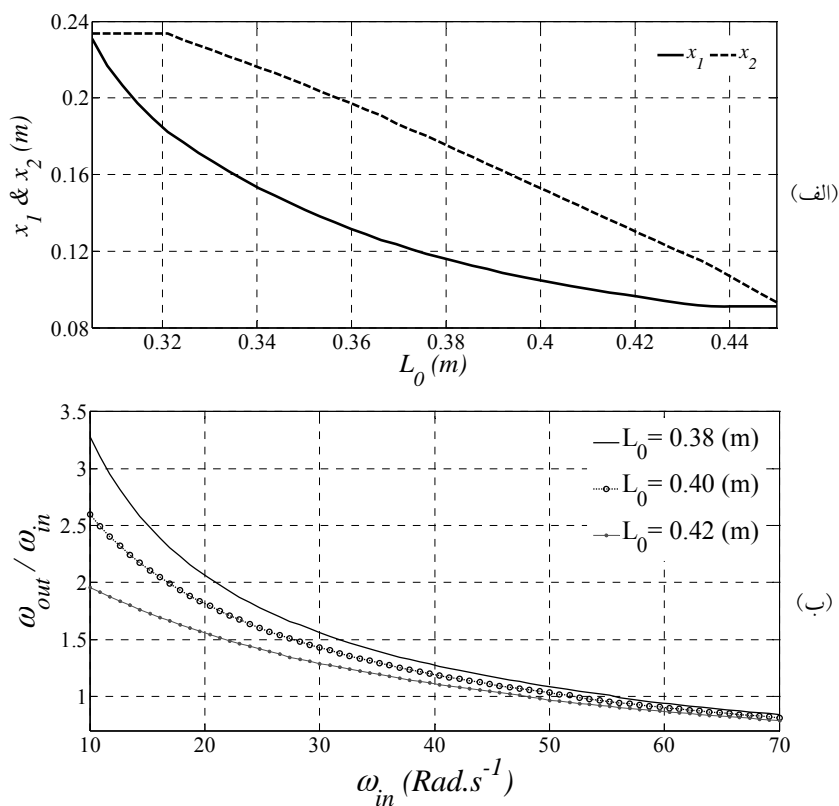
فاصله شعاعی پولی‌های معلق به‌واسطه شیار تعییه شده در صفحات حامل محدود می‌باشد. هنگامی که فاصله شعاعی هر دو پولی معلق، ماکریم مقدار ممکن خود باشند طول تسمه مینیمم مقدار خواهد بود و بالعکس. هم‌چنین مینیمم یا ماکریم بودن طول تسمه منجر به کاهش دامنه تغییر فاصله شعاعی پولی‌های معلق می‌گردد (شکل ۷-الف). بنابراین، دامنه مناسب برای انتخاب طول تسمه بلند به مقدار متوسط و حد بالا و پایین آن محدود می‌شود. با توجه به شکل (۷-ب) با افزایش طول تسمه ارزش انتقال مکانیزم و مقدار سرعت زاویه‌ای مطلوب کاهش می‌یابند.

همان‌طور که در شکل (۴) نشان داده شده است، بررسی اثر سختی فنرهای نگهدارنده بر عملکرد مکانیزم نشان می‌دهد که کاهش سختی فنرها سبب کاهش ارزش انتقال  $\left(\frac{\omega_{out}}{\omega_{in}}\right)$  مکانیزم می‌شود. در ضمن مقدار سرعت زاویه‌ای مطلوب را به سمت مقادیر کوچک‌تر جابه‌جا می‌نماید. همین نتایج در مورد طول آزاد فنرها نیز به دست آمده است. به گونه‌ای که هر چه اختلاف طول آزاد فنرها بیشتر می‌شود اثر کاهندگی آن مشهودتر می‌باشد (شکل ۵). پر واضح است که در این مکانیزم فنرها همواره در حالت کشیده هستند و طول آزاد فنر نگهدارنده پولی معلق سبک نمی‌تواند از طول آزاد فنر نگهدارنده پولی سنگین بیشتر باشد.

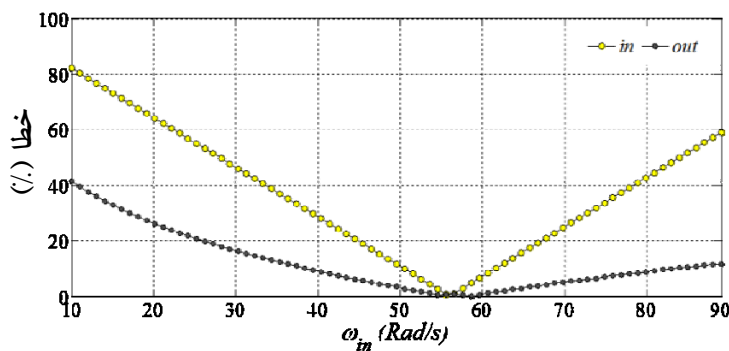
نتایج مربوط به بررسی اثر جرم پولی‌های معلق در شکل (۶) نمایش داده شده است. با توجه به شکل (۶-الف)، در شرایط یکسان، چنانچه جرم‌ها به گونه‌ای انتخاب شوند که اختلاف آن دو ثابت باقی بماند



شکل ۶ تأثیر جرم پولی‌های معلق بر دامنه عملکرد مکانیزم



شکل ۷ تأثیر طول تسممه بلند بر (الف) فاصله شعاعی پولی‌های معلق از محور مرکزی، (ب) دامنه عملکرد مکانیزم



شکل ۸ نتایج مدل‌سازی و درصد خطای سرعت محورهای ورودی و خروجی

### فهرست علائم

$c$	ضریب میرایی تسمه بلند ( $Nsm^{-1}$ )
$d_1$	طول آزاد فنر نگهدارنده پولی‌های معلق سنگین (m)
$d_2$	طول آزاد فنر نگهدارنده پولی‌های معلق سبک (m)
$F_1$	نیروی کششی طرف سفت در تسمه بلند (N)
$F_2$	نیروی کششی طرف شل در تسمه بلند (N)
$k_1$	سختی فنر نگهدارنده پولی‌های معلق سنگین ( $Nm^{-1}$ )
$k_2$	سختی فنر نگهدارنده پولی‌های معلق سبک ( $Nm^{-1}$ )
$L_0$	واحد طول تسمه بلند (m)
$m_1$	جرم پولی‌های معلق سنگین (kg)
$m_2$	جرم پولی‌های معلق سبک (kg)
$P$	توان (W)
$r$	شعاع مؤثر چرخ‌دنده‌ها و پولی‌ها (m)
$R$	شعاع مؤثر چرخ‌دنده محیطی (m)
$T$	نیروی کشش داخلی تسمه بلند (N)
$T$	گشتاور (Nm)
$x_1$	طول فنر نگهدارنده پولی‌های معلق سنگین (m)
$x_2$	طول فنر نگهدارنده پولی‌های معلق سبک (m)
<b>علائم یونانی</b>	
$\alpha$	زاویه بین تسمه بلند و امتداد راستای فنر نگهدارنده پولی‌های معلق سنگین (Rad)
$\beta$	زاویه بین تسمه بلند و امتداد راستای فنر نگهدارنده پولی‌های معلق سبک (Rad)

نتایج مدل‌سازی درصد خطای این سیستم براساس جدول (۲) به صورت شکل (۸) می‌باشد. همان‌طور که نشان داده شده است، در مکانیزم متعادل‌کننده سرعت زاویه‌ای محورهای دوار، میزان سرعت دوران محور کنترل شده است که این کنترل در سرعت‌های ۳۸ تا ۸۴ رادیان بر ثانیه ( $0/68\text{ rad/s}$ ) تا  $1/5$  برابر سرعت زاویه مطلوب (بهتر صورت گرفته است و درصد خطای سرعت محور خروجی کمتر از  $10\%$  می‌باشد).

### نتیجه‌گیری

در این پژوهش، طرح یک مکانیزم جدید کنترل خودکار سرعت زاویه‌ای ارائه گردید، که در آن از ویژگی‌های منحصر به فرد مجموعه چرخ‌دنده سیارهای بهره گرفته شده است. نوع قیدهای حاکم بر مکانیزم (هولونومیک یا غیرهولونومیک) از هم بازنگری شد و هم‌چنین معادلات دینامیکی آن استخراج گردید. این معادلات از نوع دیفرانسیل - جبری با اندیس سه بوده است که مدل‌سازی آن‌ها انجام شد. نتایج مدل‌سازی نشان دادند که این مکانیزم، در سرعت‌های نزدیک به مقدار مطلوب، عملکرد خوبی دارد و قابلیت پیاده‌سازی در یک مکانیزم واقعی را دارد.

زیرنویس‌ها	$\omega$ سرعت زاویه‌ای ( $\text{Rads}^{-1}$ )	غلتک‌ها R
bi	تسمه سفت کن روی صفحه حامل اول	چرخ دندۀ خورشیدی در مجموعه اول Si
bo	تسمه سفت کن روی صفحه حامل دوم	چرخ دندۀ خورشیدی در مجموعه دوم So
Ci	صفحه حامل اول	پولی هم محور چرخ دندۀ سیاره‌ای در مجموعه اول 1
Co	صفحه حامل دوم	پولی معلق سنگین بیرونی 2
Li	محور مشترک پولی‌های معلق سنگین داخلی و بیرونی	پولی معلق سنگین داخلی 3
Lo	محور مشترک پولی‌های معلق سبک داخلی و بیرونی	پولی معلق سبک داخلی 4
Pi	چرخ دندۀ سیاره‌ای در مجموعه اول	پولی معلق سبک بیرونی 5
Po	چرخ دندۀ سیاره‌ای در مجموعه دوم	پولی هم محور چرخ دندۀ سیاره‌ای در مجموعه دوم 6

## مراجع

- ASABE Standards, ASAE S207.12 MAR1994 (R2009): "Operating Requirements for Tractors and Power Take-Off Driven Implements", St. Joseph, MI: American Society of Agricultural and Biological Engineers, (2013).
- بهروزی لار، منصور، «شناخت و کاربرد تراکتور»، انتشارات نشر آموزش کشاورزی، ص. ۱۱۱-۱۲۲، (۱۳۸۴).
- Nise, N.S., "Control Systems Engineering", Sixth Edition, Hoboken, NJ: John Wiley & Sons, Inc., pp. 1-31, (2011).
- Pfiffner, R. and Guzella, L., "Optimal operation of cvt-based powertrains", International Journal of Robust and Nonlinear Control, Vol. 11, pp. 1003–1021, (2001).
- Aladagli, I., Hofman, T., Steinbuch, M. and Vroemen, B., "Modeling and Control of a Continuously Variable Transmission in a Constant Speed Power Take-Off Application", in The 12th International Conference on Control, Automation and Systems, Jeju Island, Korea, (2012).
- Cook, J.F., "Continuously Variable Gear Ratio Automatic Transmission", US Patent No.3899941, (1975).
- Hsieh, W.H., "Kinematic synthesis of cam-controlled planetary gear trains", Mechanism and Machine Theory, Vol. 44, pp. 873–895, (2009).
- Norton, R.L., "Design of Machinery: an Introduction to the Synthesis and Analysis of Mechanisms and Machines", third Editon, New York: McGraw-Hill Companies, pp. 462-522, (2004).
- Soltakhanov, Sh. Kh., Yushkov, M. P. and Zegzhda, S. A., "Mechanics of non-holonomic systems-A New Class of control systems", in: V.I. Babitsky, J. Wittenburg (Eds.), Foundations of Engineering Mechanics, Berlin Heidelberg: Springer-Verlag, pp. 25-75, (2009).
- Mucino, V. H., Lu, Z., Smith, J. E., Kimcikiewicz, M. and Cowan, B., "Design of continuously variable power split transmission systems for automotive applications", Proceedings of the Institution of Mechanical Engineers, Part D: Journal of Automobile Engineering, Vol. 215, No. 4, pp. 469-478, (2001).
- Parrish, B.E., "Continuously variable transmission", US Patent No.6387004B1, (2002).

12. Hwang, G.S., Lin, J.C., Tsay, D.M., Kuang, J.H. and Chern, T.L., "An Innovative Transmission Mechanism Applicable to Variable Speed Wind Turbines", in The 10th International Conference on Renewable Energies and Power Quality (ICREPQ'10), Granada, Spain, (2010).
13. Budynas-Nisbett, "Shigley's Mechanical Engineering Design", eighth Edition, United States of America: McGraw-Hill Companies, pp. 652-710, (2008).